

**BIOLOGISCHE GEZONDHEIDSRISICO'S  
KWALITEIT VAN LABORATORIA**

**COMMISSIE VOOR KLINISCHE BIOLOGIE**

**EXTERNE KWALITEITSEVALUATIE  
VOOR ANALYSES KLINISCHE BIOLOGIE**

**DEFINITIEF GLOBAAL RAPPORT**

**POCT**

**GLUCOSE**

**ENQUETE 2023/1**

**Siensano/ POCT Glucose/23-NL**

Biologische gezondheidsrisico's  
Kwaliteit van laboratoria  
J. Wytsmanstraat, 14  
1050 Brussel | België

[www.sciensano.be](http://www.sciensano.be)

<b>EXPERTENCOMITE/WERKGROEP EKE</b>
-------------------------------------

<b>Sciensano</b>			
Secretariaat	TEL:	02/642.55.22	FAX: 02/642.56.45
	e-mail	ql_secretariat@sciensano.be	
Dr Arnaud Capron	Enquêtecöördinator	TEL:	02/642.53.97
		e-mail:	Arnaud.capron@sciensano.be
Dr Kris Vernelen	Vervanger enquêtecöördinator	TEL:	02/642.55.29
		e-mail:	Kris.vernelen@sciensano.be

Momenteel bestaat er geen expertencomité voor de EKE POCT

Deze globale resultaten kunnen eventueel besproken worden op de werkgroep POCT van de Commissie klinische biologie.

**Autorisatie van het rapport** : door Dr Arnaud Capron, enquêtecöördinator

**Publicatiedatum** : 05/05/2023

Alle rapporten zijn tevens te raadplegen op onze website:

<https://www.sciensano.be/nl/kwaliteit-van-laboratoria>

# INHOUDSTAFEL

<b>CONVERSIETABEL .....</b>	<b>4</b>
<b>INTERPRETATIE VAN HET INDIVIDUELE RAPPORT .....</b>	<b>5</b>
<b> Globale Resultaten.....</b>	<b>8</b>
<b>1. Grafische voorstelling van alle resultaten .....</b>	<b>9</b>
a. Verdeling van de resultaten per glucometer .....	9
b. Frequentie-verdeling (histogram) van alle resultaten .....	9
<b>Z-SCORES EN U-SCORES .....</b>	<b>11</b>
<b>1. Grafische voorstelling van de Z-scores .....</b>	<b>11</b>
a. Verdeling van de Z-scores per glucometer ( $Z_m$ ).....	11
b. Frequentie-verdeling (histogram) van alle Z-scores ( $Z_g$ ).....	12
<b>2. Grafische voorstelling van de U-scores .....</b>	<b>13</b>
a. Verdeling van de U-scores per glucometer ( $U_m$ ), $d(\%)=6.3$ .....	13
b. Frequentie-verdeling (histogram) van alle U-scores ( $U_g$ ) .....	14
<b>CONCLUSIES .....</b>	<b>16</b>

## CONVERSIETABEL

De resultaten die in dit rapport worden gebruikt zijn plasma concentraties in mg/dL (uniforme eenheden). Sommige laboratoria rapporteerden echter resultaten in mmol/L. Een conversiefactor van 0.0555 werd toegepast om deze resultaten in mg/dL te zetten.

Aangezien de glucoseconcentratie in het plasma ongeveer 10 tot 15% hoger is dan de volbloed concentratie, geven glucometers met teststrips gekalibreerd voor volbloed waarden van ongeveer 10 to 15% lager aan. De conversiefactor van 11% werd gebruikt om de gelijkwaardigheid van deze resultaten te bekomen.

Conversietabel				
Glucose	mmol/L	→	mg/dL	÷ 0.0555
gelijkwaardigheid volbloed/plasma	Bloedkalibratie →		Plasmaconcentratie	× 1.1

## INTERPRETATIE VAN HET INDIVIDUELE RAPPORT

De enquête werd georganiseerd in samenwerking met Eurotrol (Nederland), en dit zowel voor de monsters als voor statistische verwerking. De statistische verwerking gebeurt “real time”, m.a.w. onmiddellijk na het afsluiten kunnen de individuele rapporten door de deelnemers worden opgevraagd.

Naast dit globale rapport, heeft u ook toegang tot een individueel rapport via de toolkit die u doorverwijst naar de website van de organisator <https://www.eurotrol.com/>.

Alle nuttige informatie die u kan helpen om uw individueel rapport te interpreteren is beschikbaar op de website <https://www.eurotrol.com/>.

Hieronder vindt u informatie die kan helpen om het globaal rapport te interpreteren.

De volgende informatie wordt gegeven:

- Uw resultaat (R)
- Uw methode
- De globale mediaan ( $M_G$ ):  
de centrale waarde van de resultaten bekomen door alle laboratoria voor alle methodes samen.
- De globale standaarddeviatie ( $SD_G$ ):  
maat voor de spreiding van de resultaten bekomen door alle laboratoria voor alle methodes samen.
- De globale mediaan van uw methode ( $M_M$ ):  
de centrale waarde van de resultaten bekomen door de laboratoria die dezelfde methode als u gebruiken.
- De standaarddeviatie van uw methode ( $SD_M$ ):  
maat voor de spreiding van de resultaten bekomen door de laboratoria die dezelfde methode als u gebruiken.
- De variatiecoëfficiënt CV (uitgedrukt in %) voor alle laboratoria en voor de laboratoria die dezelfde methode als u gebruiken:  
 **$CV_M = (SD_M / M_M) * 100 (\%)$  en  $CV_G = (SD_G / M_G) * 100 (\%)$ .**
- De Z-score:  
het verschil tussen uw resultaat en de mediaan van uw methode (uitgedrukt als een veelvoud van de SD):  **$Z_M = (R - M_M) / SD_M$  en  $Z_G = (R - M_G) / SD_G$ .**  
Het resultaat wordt geciteerd indien  $|Z_M| > 3$ .
- De U-score:  
de relatieve afwijking van uw resultaat t.o.v. de mediaan van uw methode (uitgedrukt in %):  
 **$U_M = ((R - M_M) / M_M) * 100 (\%)$  and  $U_G = ((R - M_G) / M_G) * 100 (\%)$ .**  
Het resultaat wordt geciteerd indien  $|U_M| > d$ , waarbij “d” de vaste limiet is van de betrokken parameter, met name het % maximaal toegelaten afwijking t.o.v. de mediaan van de methode.

U kan meer details vinden in de brochures die beschikbaar zijn op onze website op het volgende adres:

[Klinische gezondheid | EKE klinische biologie | sciensano.be](#)

#### De target waarde

De glucoseconcentratie die wordt opgegeven als referentiewaarde (54.08mg/dL) wordt gemeten (via de hexokinasemethode) in het plasma dat verkregen wordt door een gereconstitueerd CueSee® Glucose-PT monster te centrifugeren.

Een geschiktere targetwaarde is de mediaan van de methode indien het aantal resultaten voor deze methode hoger of gelijk is aan 6.

#### De statistieken voor het globaal rapport

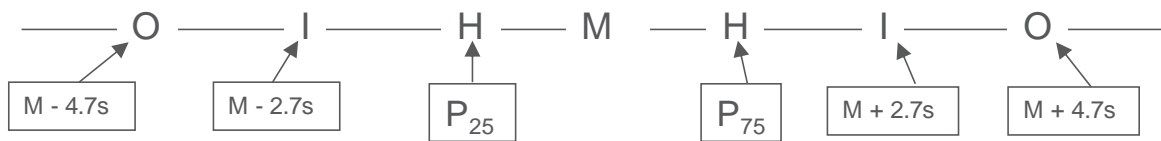
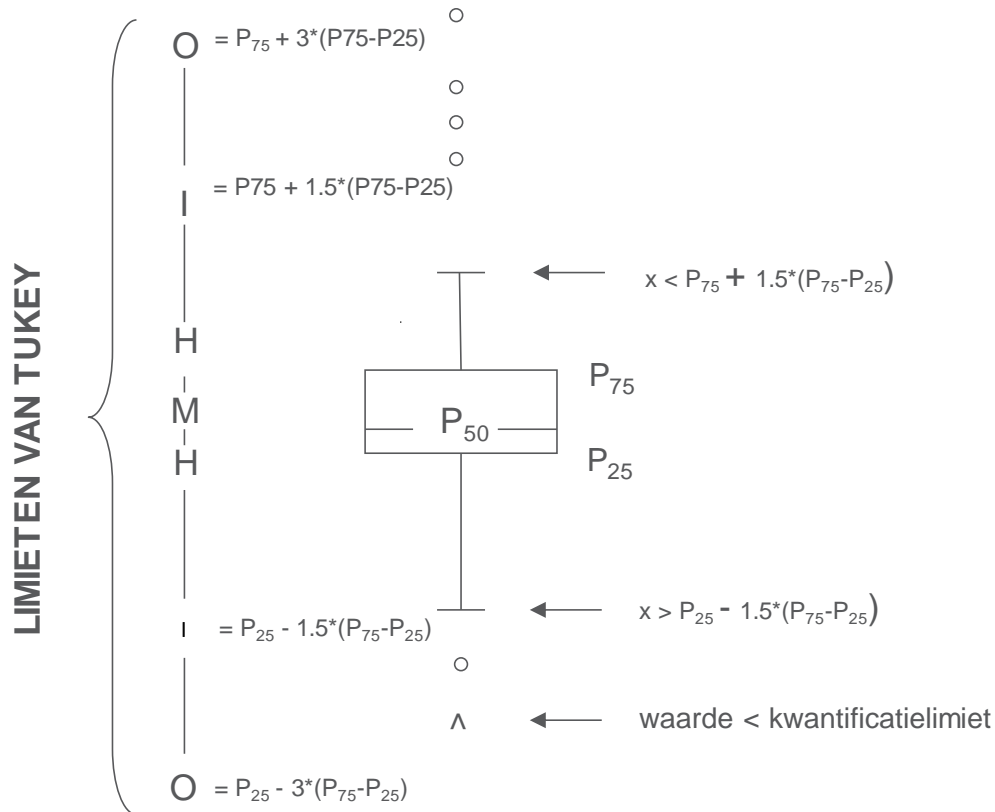
Globaal en voor elke glucometer werden indien  $n \leq 6$ , de mediaan, de standaarddeviatie (SD), de variatiecoëfficiënt CV (%) en het aantal laboratoria berekend (niet-parametrische methode).

Naast de hierboven beschreven statistieken, werd een Wilcoxon (Mann-Whitney) test toegepast om de methoden onderling te vergelijken voor instrumenten waarbij  $n \geq 6$  en indien het aantal gecensureerde waarden de berekening van de beschrijvende statistieken (mediaan, standaard deviatie) niet verhinderde.

**Grafische voorstelling**

Naast de tabellen met de resultaten, wordt er soms een grafische voorstelling van de resultaten als “box en whisker plot” toegevoegd. Zij bevat de volgende elementen voor methoden met minstens 6 deelnemers:

- een rechthoek die gaat van percentiel 25 ( $P_{25}$ ) tot percentiel 75 ( $P_{75}$ )
- een centrale lijn die de mediaan van de resultaten voorstelt ( $P_{50}$ )
- een ondergrens die de kleinste waarde voorstelt  $x > P_{25} - 1.5 * (P_{75} - P_{25})$
- een bovengrens die de grootste waarde voorstelt  $x < P_{75} + 1.5 * (P_{75} - P_{25})$
- alle punten buiten dit interval worden voorgesteld door een cirkel.



**Overeenkomstige limieten in geval van een normale verdeling**

## GLOBALE RESULTATEN

De mate waarin glucosemeters correleren met de plasmahexokinasewaarde varieert enorm, afhankelijk van de gebruikte technologie van de glucometers en kalibratie van de strips. De resultaten van de verschillende meters geven echter geen accuraatheid tegenover de targetwaarde aan. Deze wordt dus enkel ter informatie vermeld.

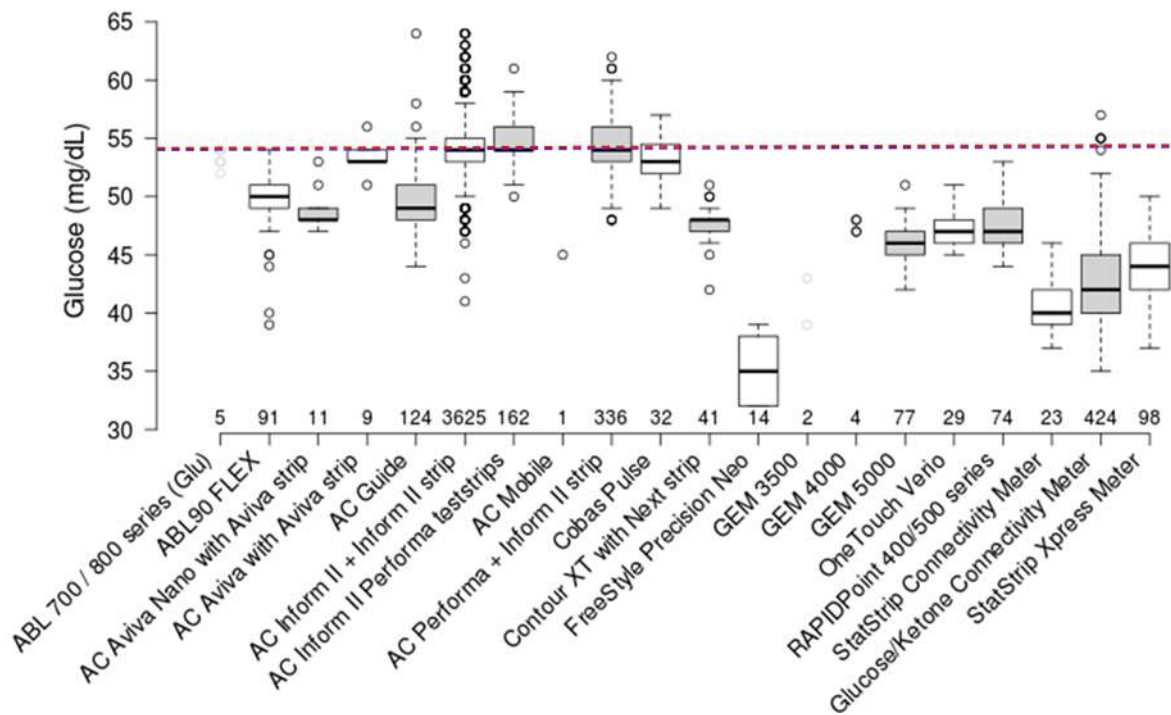
Tabel 1. Globale resultaten (Belgische deelnemers)							
	Hexokinase resultaat (ref, mg/dL)	Mediaan (M <sub>g</sub> ,mg/dL)	Gemiddelde (mg/dL)	SD*	CV (%)*	N labs	N glucometers
Staal2542304	54.08	54.0	52.6	2.22	4.12	125	5174
Gedetailleerde resultaten per glucometer							
Instrument	Richtwaarden (mg/dL)		Mediaan (mg/dL)	CV	N	Bias (ref) (mg/dL)	
ABL 700 / 800 series (Glu)	52-53-53-54-54		-	-	5	-	
ABL90 FLEX	49.41		50.00	2.96	91	-4.1	
Accu-Chek Aviva Nano with Aviva strip	48.72		48.00	-1.54	11	-6.1	
Accu-Chek Aviva with Aviva strip	53.44		53.00	1.40	9	-1.1	
Accu-Chek Guide	49.25		49.00	4.54	124	-5.1	
Accu-Chek Inform II + Inform II strip	54.40		54.00	2.75	3622	-0.1	
Accu-Chek Inform II Performa teststrips	54.63		54.00	17.84	162	-0.1	
Accu-Chek Mobile	45		-	-	1	-	
Accu-Chek Performa + Inform II strip	54.59		54.00	4.12	335	-0.1	
Cobas Pulse	52.97		53.00	3.84	32	-1.1	
Contour XT with Next strip	47.73		48.00	2.32	41	-6.1	
FreeStyle Precision Neo H	35.14		35.00	12.71	14	-19.1	
GEM 3500	39-43		-	-	2	-	
GEM 4000	47-47-48-48		-	-	4	-	
GEM 5000	45.66		46.00	3.22	76	-8.1	
OneTouch Verio	45.52		47.00	3.94	29	-7.1	
RAPIDPoint 400/500 series	47.47		47.00	4.73	74	-7.1	
StatStrip Connectivity Meter	40.52		40.00	5.56	23	-14.1	
StatStrip Glucose/Ketone Connectivity Meter	42.77		42.00	8.82	424	-12.1	
StatStrip Xpress Meter	43.81		44.00	6.74	98	-10.1	

**Tabel 1.** De gemiddelde glucoseconcentraties (richtwaarden-mg/dL), het aantal resultaten (N), CV(%) en de afwijking (bias) (mg/dL) per meetsysteem t.o.v. de theoretische targetwaarde (54.08mg/dL). De resultaten van de verschillende meters geven echter geen accuraatheid tegenover de targetwaarde aan. Deze wordt dus enkel ter informatie vermeld. Afwijkende CV's (>5%) zijn in het vet gemerkt. Voor methoden met 5 of minder resultaten hebben wij enkel de individuele resultaten opgenomen in bovenstaande tabel. Mg, globale mediaan; N, aantal resultaten; CV, variatiecoëfficiënt ; SD, standaarddeviatie. (\*) CV en SD werden door een niet-parametrische methode berekend.



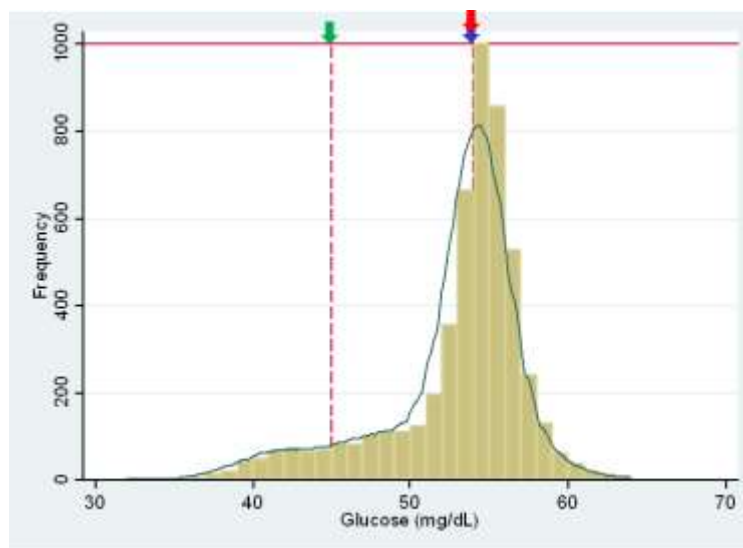
1. Grafische voorstelling van alle resultaten

a. Verdeling van de resultaten per glucometer



**Figuur 1.** Verdeling van alle resultaten per glucometer. De blauwe stippellijn stelt de hexokinase referentiewaarde (54.08mg/dL) voor; de rode stippellijn stelt de globale mediaan (54.00mg/dL) voor. AC = Accu-Check.

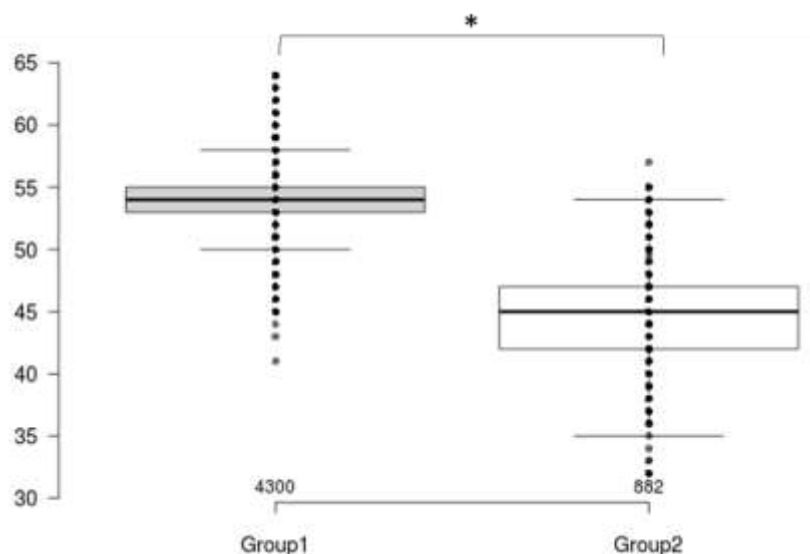
b. Frequentie-verdeling (histogram) van alle resultaten



**Figuur 2.** Frequentie-verdeling van alle Belgische resultaten (n=5174). De bovenste horizontale lijn duidt het aantal deelnemers in de hoogste balk aan. De rode pijl stelt de hexokinase referentiewaarde (54.08mg/dL) voor; de blauwe pijl stelt de mediaan van populatie 1 (54.00mg/dL) voor; de groene pijl stelt de mediaan van populatie 2 (45.00mg/dL) voor. De schatting van de waarschijnlijkheidsdichtheid werd uitgevoerd door de kernmethode (kernel density plot).

De analyse van de globale resultaten toont een variabiliteit <5% (4.12%). De maximale individuele variabiliteit voor één soort glucometer, beheerd door hetzelfde centrale laboratorium, bedraagt 12.1%. De distributieanalyse toont het bestaan van 2 populaties van glucometers, met een overlap van hun resultaten die <15% bedraagt. Deze twee populaties omvatten respectievelijk 8 en 12 soorten glucometers (Figuur 2). De mediaan analyse en een Wilcoxon (Mann-Whitney) test bevestigen dat deze populaties statistisch verschillende medianen hebben ( $P<0.01$ ) (Figuur 3).

De waarschijnlijkheid dat de resultaten verkregen met de glucometers van groep 1 (zie figuur 3) groter zijn dan die van de glucometers van de groep 2 is >95% (98.3%). Groep 1-glucometers meten de plasmafractie van glucose en deze resultaten benaderen de hexokinase referentiewaarde. Glucosemeters die post-hemolyse glucose meten, zullen door een verdunningseffect lagere resultaten geven.



**Figuur 3.** Vergelijking van de resultaten in de twee populaties. Groep1 : mediaan=54.0mg/dL,  $SD^*=1.48$ ,  $CV^*(\%)=2.75$ . Groep2 : mediaan=45.0mg/dL,  $SD^*=3.71$ ,  $CV^*(\%)=8.24$ . De twee groepen hebben statistisch verschillende medianen (Wilcoxon/Mann-Whitney,  $P<0.01$ ).

Group1	Group2
Accu-Chek Aviva Nano with Aviva strip	ABL 700 / 800 series (Glu)
Accu-Chek Aviva with Aviva strip	ABL90 FLEX
Accu-Chek Guide	Contour XT with Next strip
Accu-Chek Inform II + Inform II strip	FreeStyle Precision Neo H
Accu-Chek Inform II Performa teststrips	GEM 3500
Accu-Chek Mobile	GEM 4000
Accu-Chek Performa + Inform II strip	GEM 5000
Cobas Pulse	OneTouch Verio
	RAPIDPoint 400/500 series
	StatStrip Connectivity Meter
	StatStrip Glucose/Ketone Connectivity Meter
	StatStrip Xpress Meter

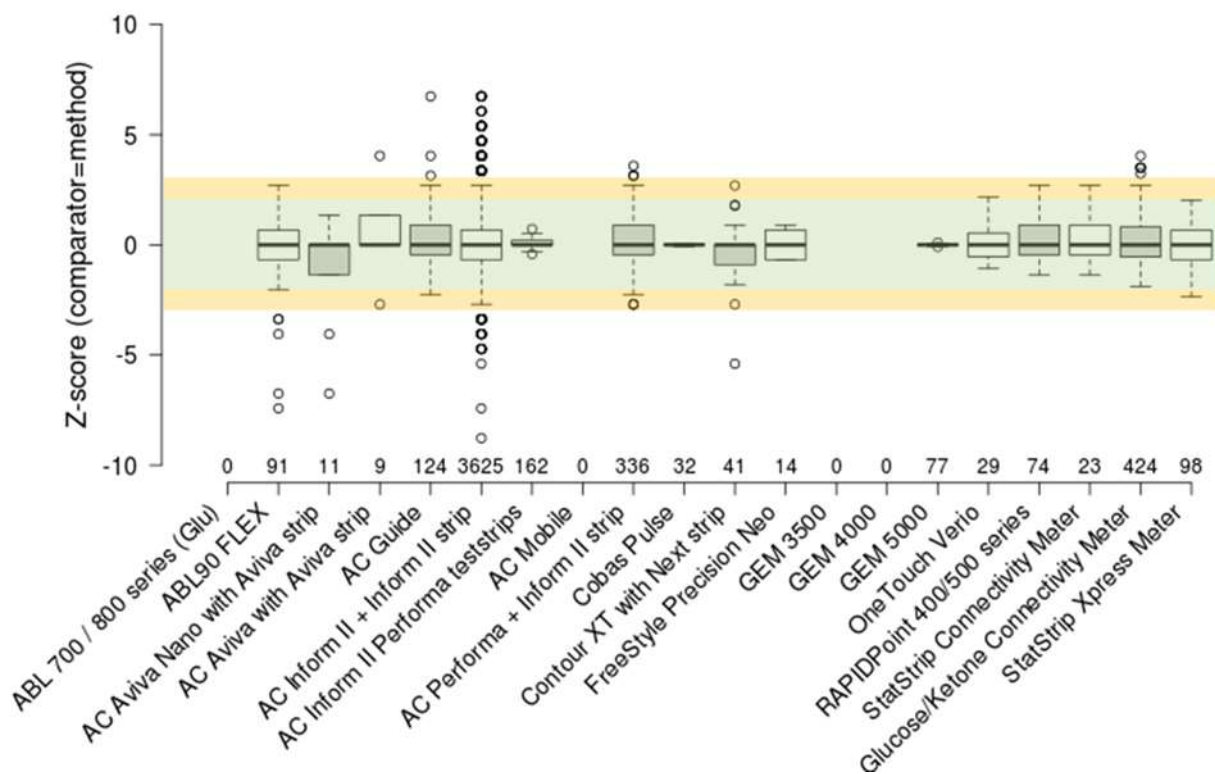
## Z-SCORES EN U-SCORES

De analyse van de Z-scores en de U-scores van de resultaten van de Belgische laboratoria werd eveneens uitgevoerd.

Deze analyse werd uitgevoerd per type glucometer ( $Z_m$ ; referentie=mediaan van de methode) en voor alle resultaten ( $Z_g$ ; referentie=globale mediaan).

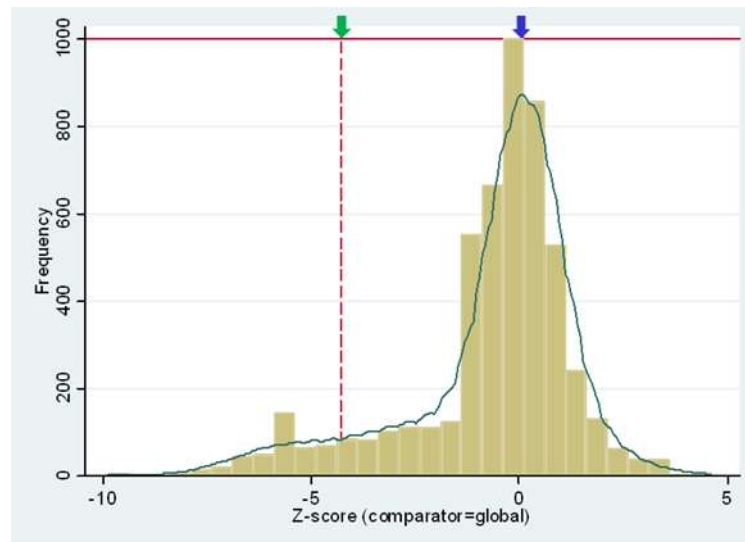
### 1. Grafische voorstelling van de Z-scores

#### a. Verdeling van de Z-scores per glucometer ( $Z_m$ )



**Figuur 4.** Verdeling van de Z-scores per glucometer ( $Z_m$ ). De groene zone,  $|Z_m| < 2$ ; de oranje zone,  $2 < |Z_m| \leq 3$ . AC = Accu-Check.

b. Frequentie-verdeling (histogram) van alle Z-scores ( $Z_g$ )



**Figuur 5.** Frequentie-verdeling van alle Belgische  $Z_g$  ( $n=5174$ ). De bovenste horizontale lijn duidt het aantal deelnemers in de hoogste balk aan. De blauwe pijl stelt de mediaan van populatie 1 (0.11) voor; de groene pijl stelt de mediaan van populatie 2 (-4.79) voor. De schatting van de waarschijnlijkheidsdichtheid werd uitgevoerd door de kernmethode (kernel density plot).

De analyse van de Z-scores per glucometer ( $Z_m$ ) toont aan dat 92.17% van de geëvalueerde glucometers ( $n=5162$ ) een  $|Z_m| \leq 2$  geeft. 3.8% van de geëvalueerde glucometers zou op basis van de  $Z_m$  geciteerd worden. Deze instrumenten zouden over 56 deelnemende laboratoria verspreid zijn.

Als we de globale mediaan als referentie ( $Z_g$ ) beschouwen, zou 14.6% van de gebruikte glucosemeters ( $n=5174$ ) worden geciteerd. Deze toestellen zijn verspreid over 74 deelnemers.

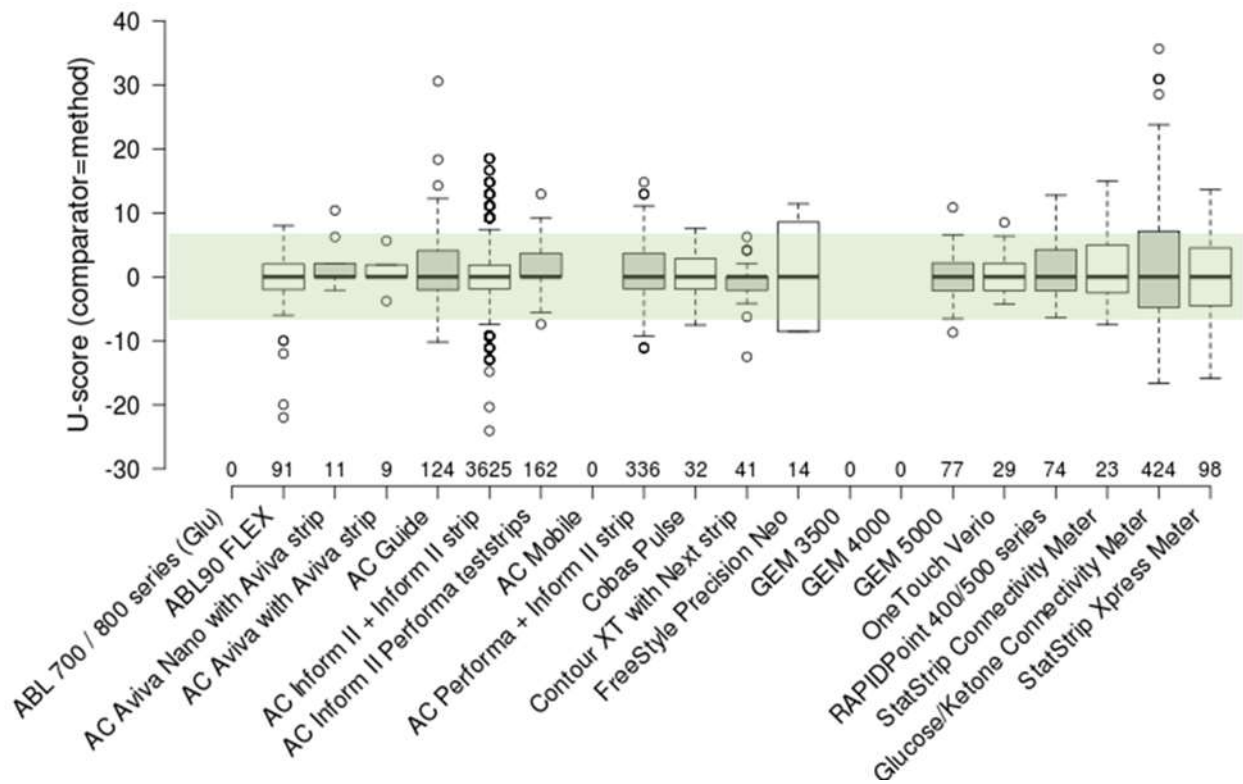
De  $Z_g$  distributie van de verschillende glucometers is vergelijkbaar met die voor de globale resultaten: 2 verschillende groepen met een minimale overlapping van hun resultaten (<15%), en statistisch verschillende medianen (Wilcoxon/Mann-Whitney  $P < 0.01$ ).

Een overzicht van de resultaten wordt gegeven in de samenvattende tabel (Tabel 2).

## 2. Grafische voorstelling van de U-scores

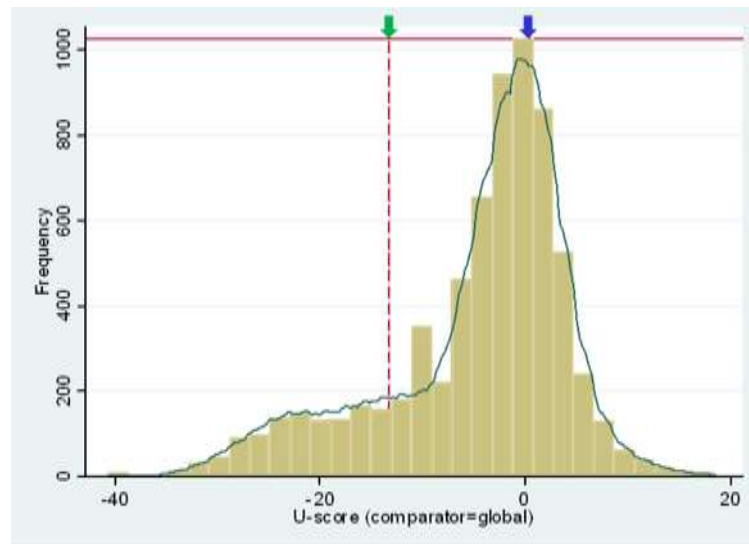
De evaluatie van de U-score is gebaseerd op het criterium van de biologische variabiliteit met een targetwaarde van 6.3% (d) voor glucose.

### a. Verdeling van de U-scores per glucometer ( $U_m$ ), $d(\%)=6.3$



**Figuur 6.** Verdeling van de U-scores (%) per glucometer ( $U_m$ ). De groene zone,  $|U_m| \leq d$  (6.3%). AC = Accu-Check.

b. Frequentie-verdeling (histogram) van alle U-scores ( $U_g$ )



**Figuur 7.** Frequentie-verdeling van alle Belgische  $U_g$  ( $n=5174$ ). De bovenste horizontale lijn duidt het aantal deelnemers in de hoogste balk aan. De blauwe pijl stelt de mediaan van populatie 1 (0.45) voor; de groene pijl stelt de mediaan van populatie 2 (-13.17) voor. De schatting van de waarschijnlijkheidsdichtheid werd uitgevoerd door de kernmethode (kernel density plot).

De analyse van de U-scores per glucometer ( $U_m$ ) toont aan dat 13.35% van de geëvalueerde glucometers ( $n=5162$ ) zou worden geciteerd op basis van de  $U_m$  ( $|U_m|>d$ ). Deze instrumenten zouden over 96 gebruikers verspreid zijn.

Als we de globale mediaan ( $U_g$ ) als referentie beschouwen, zou 25.86% van de gebruikte glucometers ( $n=5174$ ) worden geciteerd. Deze instrumenten zijn verspreid over 102 deelnemers.

De  $U_g$  distributie van de verschillende glucometers is vergelijkbaar met die voor de globale resultaten: 2 verschillende groepen met een minimale overlapping van hun resultaten (<15%), en statistisch verschillende medianen (Wilcoxon/Mann-Whitney  $P<0.01$ ).

Een overzicht van de resultaten wordt gegeven in de samenvattende tabel (Tabel 2).

Tabel 2. Gedetailleerde tabel van de Z en U citaties (Belgische deelnemers)				
	IZ <sub>m</sub> >3	IU <sub>m</sub> >6.3	IZ <sub>gl</sub> >3	IU <sub>gl</sub> >6.3
<b>N labos (%)</b>	56 (44.80%)	96 (76.80%)	74 (59.20%)	102 (81.60%)
<b>N obs (%)</b>	196 (3.80%)	689 (13.35%)	754 (14.57%)	1338 (25.86%)
Citaties per glucometer n/ntotaal [aantal geciteerde laboratoria]				
ABL 700 / 800 series (Glu)	-	-	0/5	0/5
ABL90 FLEX	5/91 [2]	7/91 [4]	10/91 [4]	64/91 [13]
Accu-Chek Aviva Nano with Aviva strip	2/11 [2]	1/11 [1]	2/11 [1]	9/11 [1]
Accu-Chek Aviva with Aviva strip	0/9	0/9	0/9	0/9
Accu-Chek Guide	3/124 [1]	12/124 [4]	30/124 [3]	92/124 [4]
Accu-Chek Inform II + Inform II strip	175/3625 [47]	336/3625 [68]	53/3625 [27]	336/3625 [68]
Accu-Chek Inform II Performa teststrips	0/162	11/162 [3]	1/162 [1]	11/162 [3]
Accu-Check Mobile	-	-	1/1 [1]	1/1 [1]
Accu-Chek Performa + Inform II strip	4/336 [4]	54/336 [18]	4/336 [4]	54/335 [18]
Cobas Pulse	0/32	1/32 [1]	0/32	2/32 [1]
Contour XT with Next strip	1/41 [1]	1/41 [1]	16/41 [4]	40/41 [4]
FreeStyle Precision Neo H	0/14	9/14 [2]	14/14 [2]	14/14 [2]
GEM 3500	-	-	2/2 [1]	2/2 [1]
GEM 4000	-	-	2/4 [2]	4/4 [4]
GEM 5000	0/77	13/77 [9]	66/77 [16]	76/77 [16]
OneTouch Verio	0/29	2/29 [1]	21/29 [1]	28/29 [1]
RAPIDPoint 400/500 series	0/74	19/74 [8]	39/74 [11]	70/74 [15]
StatStrip Connectivity Meter	0/23	4/23 [1]	23/23 [2]	23/23 [2]
StatStrip Glucose/Ketone Connectivity Meter	5/424 [1]	183/424 [11]	383/424 [12]	414/421 [12]
StatStrip Xpress Meter	0/98	35/98 [7]	87/98 [8]	98/98 [8]

**Tabel 2.** Samenvatting voor Z-score en U-score citaties voor de enquête POCT glucose 2023/1. N labos, aantal geciteerde laboratoria ; N obs = aantal geciteerde resultaten.

## CONCLUSIES

De resultaten van de EKE POCT glucose 2023/1 laten een intra-methode variabiliteit zien die varieert tussen 1.40 en 17.84%. De interglucometer-variabiliteit is <5% (4.12%).

Binnen hetzelfde laboratorium kan deze variabiliteit voor een bepaald apparaattype oplopen tot 12.1%.

Op basis van de resultaten van deze enquête konden de geteste instrumenten worden onderverdeeld in twee verschillende groepen. De kans dat deze groepen glucometers statistisch verschillende resultaten opleveren is >90%.

Resultaten van glucometers die in de plasmafractie van het bloed meten (zoals Accu-Check InformII) geven hogere resultaten en komen overeen met de hexokinase referentiewaarde.

Een manier om alle meters met elkaar te vergelijken is om de afwijking t.o.v. de mediaan per instrument te bepalen. Betreffende de  $U_m$ -citaties ( $d=6.3\%$ ), zouden 102 laboratoria van de 125 voor minstens één van hun glucometers worden geciteerd. Deze citaties hebben betrekking op 689 resultaten op een totaal van 5162 glucometers. De resultaten van de verschillende glucometers geven geen accuraatheid ten opzichte van de hexokinase referentiewaarde en de globale mediaan ( $M_g$ ).  $Z_g$  en  $U_g$  worden slechts ter informatie gegeven.

De variabiliteiten werden vastgesteld op basis van een niet-humaan staal. Het is mogelijk dat deze variaties gedeeltelijk gerelateerd zijn aan het gebrek van commuteerbaarheid van het monster. Sommige glucometers kunnen een matrix-effect ondergaan.

POCT-EKE testen worden niet steeds uitgevoerd door de "True Key" operatoren. De resultaten weerspiegelen aldus niet de werkelijkheid van de glucosemetingen op de werkvloer; naar alle waarschijnlijkheid zullen de resultaten bekomen op de werkvloer een grotere variatie vertonen dan wat we uit de enquêtes kunnen afleiden.

Opleiding en continue vorming van alle stafleden betrokken bij POCT metingen blijft noodzakelijk.

---

EINDE

---

© Sciensano, Brussel 2023.

Dit rapport mag niet gereproduceerd, gepubliceerd of verdeeld worden zonder akkoord van Sciensano. De individuele resultaten van de laboratoria zijn vertrouwelijk. Zij worden door Sciensano niet doorgegeven aan derden, noch aan de leden van de Commissie, de expertencomités of de werkgroep EKE.